

Anticancer Effects of Deoxypodophyllotoxin and Juniperus communis L. on Prostate Cancer Cell Lines

Morteza Mahdavi¹,
Mohammad Azadbakht²,
Akbar Vahdati³,
Mohammad Shokrzadeh⁴,
Ayub Farhadi⁵

¹ PhD Student in Biology, Department of Biology, Shiraz Branch, Islamic Azad University, Shiraz, Iran

² Professor, Department of Pharmacognosy, Faculty of Pharmacy, Mazandaran University of Medical Sciences, Sari, Iran

³ Professor, Department of Biology, Shiraz Branch, Islamic Azad University, Shiraz, Iran

⁴ Professor, Pharmaceutical Sciences Research Center, Department of Toxicology and Pharmacology, Mazandaran University of Medical Sciences, Sari, Iran

⁵ Assistant Professor, Laboratory of Molecular Cytogenetic, Faculty of Animal Sciences and Fisheries, Sari Agricultural Sciences and Natural Resources University, Sari, Iran

(Received May 18, 2019 ; Accepted September 16, 2019)

Abstract

Background and purpose: In this study, the effects of a mixture of deoxypodophyllotoxin/DPT and *Juniperus communis* L. on apoptosis and cellular inhibition were evaluated. Also, their cytotoxicity effects on prostate cancer cells (PC3 and DU145) and normal cells (HGFs), their anti-inflammatory effects, oxidation properties, and their effects on the expression of androgen receptors (AR) and clusterin (CLU) receptors were evaluated.

Materials and methods: In this experimental study, the cells were cultured in DMEM f12 medium containing L-glutamine, penicillin, streptomycin, and 10% FBS. Morphological changes induced by reverse microscope were investigated 24, 48, 72, and 96 hrs after adding pure DPT and juniper extract at 10, 100, 500, 1000 µg/ml. Survival rate was assessed by MTT assay in all three cell lines. The rate of apoptosis in all cell lines was assessed by flow cytometric analysis. The expression levels of AR and CLU genes were evaluated by Real-Time PCR.

Results: The 10, 100, 500, 1000 µg/ml of DPT and 500 and 1000 concentrations of extract after 24 hours caused morphological changes in PC3 and DU145 cells and these changes intensified after 48, 72, and 96 hr. The MTT test showed significant decrease in PC3 and DU145 cell survival levels at 100, 500, and 1000 µg/ml ($P < 0.001$). Also, the extract at 100 and 500 µg/ml significantly reduced the survival of PC3 and DU145 cancer cells ($P < 0.042$).

Conclusion: Pure DPT and plant extracts have cytotoxic effects on PC3 and DU145 cells with minimal damage to normal cells.

Keywords: juniper extract, cancer, cytotoxic effect, apoptosis

J Mazandaran Univ Med Sci 2019; 29 (177): 13-29 (Persian).

* Corresponding Author: Mohammad Azadbakht - Faculty of Pharmacy, Mazandaran University of Medical Sciences, Sari, Iran (E-mail: azadbakhtm@hotmail.com)

بررسی اثرات ضد سرطانی دئوکسی پودوفیلوتوکسین و عصاره گیاه لمبیر در رده‌های سلولی سرطانی پروستات

مرتضی مهدوی¹
محمد آزادبخت²
اکبر وحدتی³
محمد شکرزاده⁴
ایوب فرهادی⁵

چکیده

سابقه و هدف: در این مطالعه، اثرات ترکیب دئوکسی پودوفیلوتوکسین و عصاره لمبیر (*Juniperus communis* L.) بر آپوپتوز و مهار سلولی ارزیابی شده است. همچنین سمیت سلولی آن‌ها بر روی سلول‌های سرطانی پروستات (PC3 و DU145) و سلول نرمال (HGFs)، اثرات آنتی‌اکسیدانی و اثرات آن‌ها در بیان ژن‌های گیرنده‌های آندروژن (AR) و کلاسترین (CLU) نیز مورد ارزیابی قرار گرفته است.

مواد و روش‌ها: در این مطالعه تجربی، سلول‌ها در محیط کشت DMEM f12 حاوی ال-گلوتامین، پنی‌سیلین، استرپتومایسین و 10 درصد FBS کشت داده شده و 24، 48، 72 و 96 ساعت پس از اضافه نمودن دئوکسی پودوفیلوتوکسین خالص و عصاره میوه لمبیر با غلظت‌های 10، 100، 500، 1000 $\mu\text{g/ml}$ ، تغییرات مورفولوژیک ایجاد شده با اینورت میکروسکوپ بررسی شد. درصد زنده ماندن هر سه رده سلولی نیز توسط آزمون MTT بررسی گردید. میزان آپوپتوز هر سه رده سلولی نیز توسط آنالیز فلوسایتومتری بررسی شد. بیان ژن‌های AR و CLU نیز توسط دستگاه real time بررسی گردید.

یافته‌ها: غلظت‌های 10، 100، 500، 1000 $\mu\text{g/ml}$ ترکیب دئوکسی پودوفیلوتوکسین و غلظت‌های 500 و 1000 عصاره پس از 24 ساعت موجب تغییرات مورفولوژیک در سلول‌های PC3 و DU145 گردید و این تغییرات پس از 48، 72، 96 ساعت تشدید شد. نتایج آزمون MTT نشان‌دهنده کاهش معنی‌داری در میزان زنده ماندن سلول‌های PC3 و DU145 در غلظت‌های 100، 500، 1000 $\mu\text{g/ml}$ بود ($P < 0/001$). همچنین، غلظت‌های 100 و 500 $\mu\text{g/ml}$ موجب کاهش معنی‌دار در میزان زنده ماندن سلول‌های سرطانی PC3 و DU145 شد ($P < 0/042$).

استنتاج: بر اساس نتایج، ترکیب ترکیب دئوکسی پودوفیلوتوکسین و عصاره میوه لمبیر در غلظت مذکور با کم‌ترین آسیب به سلول‌های طبیعی باعث تخریب سلول‌های سرطانی می‌شوند.

واژه‌های کلیدی: لمبیر، سرطان، اثر سایتوتوکسیک، آپوپتوز

مقدمه

مازندران به علت باد شدید توانسته است به خوبی با شرایط سازگار شده و رشد نماید. همچنین بر روی

لمبیر با نام علمی *Juniperus communis* L. و از خانواده Cupressaceae، درختچه‌ای که در ارتفاعات

E-mail: azadbakht@hotmai.com

مؤلف مسئول: محمد آزادبخت: کیلومتر 72 جاده فرح آباد، مجتمع دانشگاهی پیامبر اعظم (ص)، دانشکده داروسازی

1. دانشجوی دکتری زیست‌شناسی جانوری تکوین، گروه زیست‌شناسی، واحد شیراز، دانشگاه آزاد اسلامی، شیراز، ایران

2. استاد، گروه فارماکوتکونوزی، دانشکده داروسازی، دانشگاه علوم پزشکی مازندران، ساری، ایران.

3. استاد، گروه زیست‌شناسی، واحد فارس، دانشگاه آزاد اسلامی، شیراز، ایران

4. استاد، مرکز تحقیقات علوم دارویی، گروه سم‌شناسی داروشناسی، دانشکده داروسازی، دانشگاه علوم پزشکی مازندران، ساری، ایران

5. استادیار، آزمایشگاه سیتوژنتیک مولکولی، دانشکده علوم دامی و شیلات، دانشگاه علوم کشاورزی و منابع طبیعی، ساری، ایران

تاریخ دریافت: 1398/2/28 تاریخ ارجاع جهت اصلاحات: 1398/2/28 تاریخ تصویب: 1398/6/25

برابر عوامل القاء کننده آپوپتوز افزایش می‌دهد. DPT اثراتش را با تداخل در مسیر FNVB با اتصال به P65 اعمال می‌کند (5). علاوه بر این مکانیسم، این ترکیب با کاهش بیان یا افزایش بیان ژن پروتئین کیناز MARK و c-Jun-N-terminal kinase و تداخل با فاکتور رونویسی STAT3 عمل می‌کند (6). مکانیسم اثر دیگر این ترکیب علاوه بر افزایش تولید رادیکال‌های آزاد اکسیژن، مهار تولید matrix metalloproteinase می‌باشد که برای رگ‌زایی بسیار حیاتی می‌باشد (7). DPT در لمبیر به عنوان متابولیت ثانویه در درمان شیمیایی دارای اثرات قوی زیستی می‌باشد. همچنین در درمان سرطان سینه از طریق تحریک آپوپتوزیس مؤثر است (8). ناقلین گیرنده آندروژن (AR) پس از اتصال لیگاند‌های درونی خود، که شامل 5-آلفا دی هیدروتستوسترون و تستوسترون می‌باشند، نقش محوری در تکوین، فیزیولوژی و آسیب‌شناسی غده پروستات دارند. عملکرد اصلی گیرنده آندروژن تنظیم رونویسی در تنظیم بیان ژن می‌باشد. در هسته، لیگاند فعال ARs دستیار ویژه توالی DNA شناخته می‌شوند مانند عناصر پاسخ آندروژن (AREs) و همکار تنظیم کننده هسته‌ای و ماشین رونویسی و بنابراین در تنظیم رونویسی ژن‌های هدف نقش دارد. ناقلین AR به‌عنوان یک مرکز تنظیم کننده رشد طبیعی پروستات، تمایز سلولی و هموستازیس می‌باشند. علاوه بر این، تصور می‌شود که تنظیم غلط ناقلین AR منجر به شروع و پیشرفت سرطان پروستات شود (9-11).

فعالیت سرطان‌شناسی AR مطالعه جالبی می‌باشد که به طور خاص به سرطان پروستات می‌پردازد. مستندات منتشر شده برای بیشتر سلول‌های سرطانی پروستات اثر ناقلین AR بر رشد و تکثیر این سلول‌ها تا حدودی وابسته است. در مقایسه با فعالیت سرطان‌شناسی AR در سرطان پروستات، ناقلین AR معمولاً برای جلوگیری از تکثیر سلول و تحریک تمایز و بقای سلول‌های اپیتلیالی پروستات لومینال در غده پروستات

لبه‌های سنگ و پهلوهای بوته رشد می‌کند. اگرچه ممکن است در سطح زمین زیاد باشد ولی جمعیت‌های، بسیار کوچکی را تشکیل می‌دهد. پوست ساقه آن تیره رنگ و بعداً خاکستری می‌شود. برگ‌های آن سوزنی، راست، نوک تیز مانند سوزن، روی برگ شیاردار و در طول آن خطی کبودرنگ دیده می‌شود. ابعاد برگ 18-1/4 میلی‌متر است. دانه گرده فاقد کیسه هوایی است. دستگاه ماده این گیاهان به شکل مخروط‌های کوچکی هستند که در راس شاخه‌ها هستند. میوه آن تقریباً گرد و کروی، کبودرنگ به قطر 6-9 میلی‌متر و معمولاً دارای 3 عدد دانه سه وجهی است که در سال دوم می‌رسد (1). انتشار جغرافیایی گیاه در ارتفاعات گرگان بعد نهارخوران، درفک و شیرکوه گیلان، نور و کجور، جواهرده رامسر، رودسر، سوادکوه، تلمدره ساری، سفیدچال گلگاه می‌باشد. میوه‌های لمبیر حاوی پیرواکسالیک اسید و به مقدار جزئی چند اسید دیگر، یک ترکیب سیکلو لیگنان به نام دئوکسی پودوفیلوتوکسین (Deoxy podophyllotoxin/DPT) با فرمول $C_{22}H_{22}O_7$ به وزن مولکولی 398/411 و همچنین کمی قند و در حدود 1/2 - 0/8 درصد اسانس شامل D- α -Pinene است. حدود 8 درصد رزین و 0/36 درصد ماده تلخ Juniperin یافت می‌شود (2، 3). مشخص شده است که DPT مانع از پلیمریزاسیون توبولین می‌شود و همچنین مانع از توقف چرخه سلولی با آپوپتوز از طریق چندین پروتکل سلولی شامل فعال سازی ATM، ارتقاء P53 و BAX، فعال سازی کاسپاز 3 و 7 می‌شود. تاکنون چندین مکانیسم برای DPT در سرطان کشف شده است که این تنوع در مکانیسم اثر باعث کاهش احتمال مقاومت‌های دارویی در اثر موتاسیون در ژن‌های پروتئین‌های هدف می‌شود (4). یکی از مکانیسم‌های اثر این ترکیبات، مهار فاکتور رونویسی FNVB بوده که در سلول‌های سرطانی بسیار فعال می‌باشد. حضور این فاکتور در سلول‌های سرطانی جلوی آپوپتوز این سلول را می‌گیرد و مهار این عامل حساسیت سلول‌ها را در

کاسپاز 8 و 10 را فعال تر می کند. فعالیت آغازگر کاسپاز منجر به جدا شدن و فعالیت مجریان کاسپاز 3، 6 و 7 می شود. در مسیر اصلی، ناقلین تنش چند گانه روی میتو کندری همگرا می شود و باعث نفوذ پذیری ذراتی از غشای بیرونی میتو کندری (MOMP) می شود، از قبیل ذرات سیتوکروم c، فاکتور آزاد سازی آپوپتوزیس میتو کندریایی 1/2 (AIFM1/2)، DIABLO. در ارتباط با سیتوکروم c فاکتور پپتیدی فعال کننده آپوپتوزی یا ذرات (APAF1) و الیگومرهای مجتمع آپوپتوزوم که جدا می شوند و آغازگرهای کاسپاز 9 را فعال می کنند و مامور اجرای کاسپازها هستند. مهم این است که غشای خارجی میتو کندری و نفوذ پذیری آن برای ناقلین آپوپتوزی درونی و بیرونی از واسطه های حیاتی می باشد. به طور معمول یکپارچگی میتو کندری به شدت توسط پروتئین های خانواده B-cell CLL/lymphoma 2 (BCL2) کنترل می شود. پروتئین های خانواده آپوپتوزی BCL2 مرتبط با پروتئین X (BAX) (شامل BCL2، BAX، antagonist/killer 1 (BAK)، and BCL 2-related ovarian killer (BOK) عمدتاً در غشای میتو کندری عمل می کنند. اولیگو مرهای پروتئین پرو آپوپتوزیس BAX و BAK سوراخ هایی را در سطح میتو کندری ایجاد کرده و در نتیجه باعث آزاد شدن عوامل پرو آپوپتوزیس می شود. پروتئین پیش ابقائی خانواده BCL2 (شامل BCL2، BCL2L 1/BCL-XL، BCL2L 1 (MCL1)، Leukemia 1 (MCL1) و غیره) تداخل با پروتئین خانواده پرو آپوپتوزیس BCL2 باعث حفظ یکپارچگی غشای میتو کندری می شود. پروتئین BH-3 (شامل BID، BAD، BIM، BCL2L 11/BIM، NOXA، PUMA و غیره) همچنین پرو آپوپتوزیس هایی هستند، زیرا آن ها اثر متقابلی با پروتئین های پیش ابقائی خانواده BCL2 داشته و از تداخل آنان با پرو آپوپتوزیس BAX و BAK جلوگیری می کنند. در واقع، میزان برتری نسبت پروتئین های پیش ابقائی و آپوپتوزیس خانواده BCL2 تعیین کننده اصلی این است که آیا یک سلول زنده خواهد ماند یا می میرد. ناقل AR نقش مهمی در هوموستازی

نرمال انسان و جوندگان اپیتلیوم پروستات حاوی لایه های پایه ای و لومینال با سلول های عصبی نادر چندین گروه نشان داده اند که سلول های متوسط و یک زیر مجموعه سلول های پایه بیان سطح پایین AR را نشان می دهند. به عنوان سلول های تمایز یافته حد واسط و مهاجر به لایه لومینال، بیان AR افزایش می یابد. اعتقاد بر این است که افزایش فراوان بیان AR سلول های اپیتلیال لومینال موجب سرکوب تکثیر و حفظ عملکرد ترشحی آن می شود. علاوه بر این، ناقلین حد واسط AR در مزانشیم/استروما و مکانیسم ناقل پاراکرین همچنین می تواند بقای سلول های اپیتلیال لومینال در پروستات را تنظیم کند. در حالیکه وضعیت تکثیر سلول های تنظیم شده با AR به طور گسترده مورد مطالعه قرار گرفته است، درباره پاسخ استرس سلولی و آپوپتوزیس سلول های اپیتلیال پروستات از عملکرد ناقلین AR که برای رشد و هوموستازی غده پروستات نقش محوری دارند، شناخت کمی صورت گرفته است (9-11). آنچه مسلم است با قرار گرفتن در معرض انواع مختلف عوامل تنش زای داخل و خارج سلولی (به عنوان مثال عوامل التهابی، استرس اکسید کننده، آسیب DNA سموم و غیره)، سلول ها معمولاً مسیرهای متعددی را برای مقابله با محرک ها و تعمیرات ایجاد می کنند و پاسخ به آسیب استرس مداوم یا آسیب غیر قابل برگشت سلولی، ناقل اضافی را فعال می کند و مسیرهایی که در نهایت منجر به مرگ سلولی برنامه ریزی شده می شود. آپوپتوزیس بسیار تنظیم شده است، فرآیندی که در آن ناقلین با مرگ سلولی به روش وابسته به انرژی با ویژگی های مشخص می باشند. ناقلین مرکزی آپوپتوزیس از طریق فعال سازی مسیرهای بیرونی و یا مسیرهای درونی که بوسیله فعال سازی کاسپازهای مختلف مشخص می شود. در مسیر بیرونی، گیرنده های مرگ برنامه ریزی شده دسته فوقانی گیرنده فاکتور تومور نکروزیس در غشاء پلاسمایی لیگاندهای ناقل مرگ برنامه ریزی شده را حس می کند و آغازگر

گلوگاه جمع آوری شد. موقعیت لمبیر از منطقه سفیدچال گلوگاه در عرض جغرافیایی 36/551375 و طول جغرافیایی 53/828673 قرار دارد. پس از شناسایی دقیق، با نمونه هرباریومی دانشگاه پیام نور ساری با کد SPNH-2011 تطبیق داده شد. میوه لمبیر از نقاط مختلف در این موقعیت جغرافیایی جمع آوری شد تا نمونه برداری درستی انجام شده باشد (تصویر شماره 1).



تصویر شماره 1: تصویر نمونه هرباریومی و گیاه لمبیر

خشک کردن و عصاره گیری

میوه گیاه جمع آوری شده در انبار بر روی توریهای فلزی با شرایط تهویه مناسب قرار داده شد تا به طور کامل خشک شود. پس از خشک شدن کامل، نمونه‌ها توسط آسیاب برقی به طور کامل خرد شد. میوه گیاه لمبیر و با روش ماسراسیون با حلال هیدروالکلی عصاره گیری گردید (12-14).

تعیین مقدار DPT تام عصاره به روش HPLC

شرایط مناسب به دست آمده با استفاده از نمونه استاندارد آن، 0/02 Ammonium acetate مولار در فاز متحرک، pH 5/5 فاز متحرک (با استفاده از بافر فسفات) و درجه حرارت ستون 30 درجه سانتی گراد تعیین شد. در این شرایط تهیه peak مناسب دنوکسی پودوفیلوتوکسین برای عصاره تهیه شده از میوه سرو کوهی در حداقل زمان 15 دقیقه شستشو با استونیتریل ضروری است. میزان جریان و حجم عصاره

اپیتلیال پروستات دارد که وابسته است بر تعادل خالص تقسیم سلولی و بازده محصول در یک مطالعه قبلی، ما یک مکانیسم رشد را تعریف کردیم که بموجب آن AR میانجیگر با تنظیم پائین دست ترکیب cyclin D-CDK4/6 باعث مهار پیشرفت چرخه سلولی سلول‌های اپیتلیال پروستات انسان (Primary Prostate Epithelial Cells; Normal, Human) می‌شود. با این حال، ناقل AR و پاسخ استرس آپوپتوزیس سلول اپیتلیال پروستات انسان به خوبی شناخته نشده‌اند، هر چند آنان مسیرهای ناقلین مرکزی هستند که در این سلول‌ها و تنظیم هوموستاز پروستات و آسیب‌شناسی دخالت دارند. مهم این است که، فعالیت ناقلین AR در سلول‌های (Primary Prostate Epithelial Cells; Normal, Human) در شرایط کشت وضعیت آپوپتوزیس آنان بهینه نشده است، نقش ثابت ناقل AR برای حفظ هوموستازی در تمایز سلولی و پیشرفت رشد سلول‌های اپیتلیال پروستات دارد. برای درک بهتر ناقلین AR در زمینه پاسخ استرس سلولی، فرض ما بر این است که ناقلین AR موجب افزایش تقاضا برای سلول‌های آسیب دیده ناشی از عملکرد سلول‌های اپیتلیال نرمال پروستات بر حفظ هوموستازیس و بقاء سلول نرمال می‌گردد (9-11). با توجه به اثرات ضد سرطانی دنوکسی پودوفیلوتوکسین، هدف این مقاله بررسی اثرات ضد سرطانی ترکیب دنوکسی پودوفیلوتوکسین و عصاره تام میوه گیاه لمبیر که حاوی این ترکیب بوده، می‌باشد.

مواد و روش‌ها

این مطالعه از نوع تجربی، مستخرج از طرح مصوب دانشگاه علوم پزشکی مازندران و با تایید کمیته اخلاق دانشگاه بوده و تمامی مراحل کار اعم از کار گیاهی و سلولی بر اساس اصول اخلاقی توصیه شده کمیته اخلاق دانشگاه به انجام رسیده است.

جمع آوری گیاه

میوه لمبیر در شهریور 1394 از ارتفاعات سفیدچال

تزریق شده به ترتیب 1 میلی لیتر در دقیقه و 2 میکرولیتر تعیین شد (14).

کشت رده‌های سلولی سرطانی پروستات

رده‌های سلولی سرطانی پروستات (DU145، PC3) از بانک سلولی انستیتو پاستور ایران تهیه شد (کد NCBI، C47). رده سلول‌های سرطانی در محیط کشت DMEM/f12 حاوی ال-گلوتامین، پنی‌سیلین (100 واحد در میلی لیتر)، استریتوماکسین (100 واحد در میلی لیتر) و 10 درصد سرم جنین گاوی (FBS) کشت شدند. سلول‌ها در انکوباتور 37 درجه سانتی گراد، رطوبت 90 درصد و دی اکسید کربن 5 درصد قرار گرفتند. سلول نرمال فیروبللاست از بانک سلولی انستیتو پاستور ایران تهیه شده (کد NCBI، C165) و محیط کشت RPMI 1640 در شرایط نرمال کشت شد (12-14).

بررسی اثر DPT و عصاره بر مورفولوژی سلول‌های کشت داده شده

در بررسی مورفولوژی، غلظت‌های 10، 50، 100، 500، 1000 میکروگرم در میلی لیتر هر یک از دئوکسی پودوفیلوتوکسین (DPT) خالص (سیگما، آلمان) و عصاره لمبیر را بر سلول‌های کشت داده شده به تعداد متوسط (5×10⁵) سلول در فلاسک‌های با درب فیلتردار استریل 50 میلی لیتر، که حاوی 5 میلی لیتر محیط کشت بودند، اثر داده شدند و نتایج در 24، 48، 72 و 96 ساعت بعد از تیمار کردن سلول‌ها با ترکیب، توسط اینورت میکروسکوپ مجهز به دوربین اولمپوس ژاپن، عکس برداری شد (12-14).

تست سمیت ماده استاندارد و عصاره گیاهی

بررسی میزان سمیت سایتوتوکسیک عصاره لمبیر و ماده استاندارد DPT بر هر دو رده سلولی سرطانی پروستات (DU145، PC3) در مقایسه با گروه‌های کنترل بررسی شد. از هر دو رده سلولی، پس از انجام پاساژ، یک سوسپانسیون سلولی در محیط کشت تهیه شد. به

این صورت که در هر خانه از پلیت 96 خانه‌ای، 5000 سلول موجود باشد. پلیت‌ها 24 ساعت در انکوباتور قرار داده شدند تا سلول‌ها به بستر خود بچسبند. غلظت‌های 10، 100، 500، 1000 میکروگرم در میلی لیتر عصاره لمبیر به 4 گروه سه تایی از خانه‌های مربوط به هر دو رده سلولی سرطانی پروستات و DPT به 4 گروه سه تایی از خانه‌های مربوط به هر دو رده سلولی اضافه شد و به خانه‌های مربوط به هر دو رده سلولی اضافه شد و به آب مقطر استریل و به گروه کنترل مثبت سپس پلاتین اضافه شد. این پلیت‌ها در انکوباتور قرار گرفتند و پس از 48 ساعت به جای محیط کشت، 180 میکرولیتر محیط تازه همراه با 20 میکرولیتر رنگ تترازولیوم اضافه و 4 ساعت در انکوباتور گذاشته شد. پس از آن محیط کشت حاوی رنگ تترازولیوم خالی و 200 میکرولیتر DMSO و 25 میکرولیتر بافر گلاسیسین جایگزین آن شد و جذب نوری خانه‌ها توسط دستگاه میکروپلیت ریدر در طول موج 570 نانومتر اندازه گیری شد (14).

تست تعیین آپوپتوز و نکروز سلول‌ها به روش فلوسایتومتری

از هر رده سلولی، پس از انجام پاساژ، یک سوسپانسیون سلولی در محیط کشت تهیه شد. به این صورت که در هر خانه از پلیت 12 خانه‌ای 500000 سلول موجود باشد. برای این آزمون 3 پلیت 12 خانه‌ای در نظر گرفته شد و 30 خانه از پلیت‌های 12 خانه‌ای انتخاب شد. سپس 5 گروه سه تایی از خانه‌ها به سلول‌های هر دو رده سلولی پروستات با عصاره لمبیر و 5 گروه سه تایی از خانه‌ها به سلول‌های هر دو رده سلولی با ماده استاندارد DPT اختصاص داده شد. این پلیت‌ها 48 ساعت در انکوباتور قرار گرفتند و سپس برای سه دقیقه 200 میکرولیتر تریپسین 1 ایکس برای هر خانه ریخته شد و پس از سانتریفوژ برای بررسی سلول‌های آپوپتوز و نکروز از دستگاه فلوسایتومتری چهار کاناله تک لیزری (Sysmex Partect PSA)، طول موج 580 و 630 به

بالا، کیت Annexin V-FITC Apoptosis ebioscience استفاده شد (14).

بیان نسی ژن‌های AR و CLU به روش Real time PCR RNA دو رده سلولی پروستات به وسیله کیت استخراج RNA شرکت کیژن (74104) استخراج شد. پس از استخراج RNA برای اطمینان از صحت استخراج و بررسی کمیت و کیفیت آن، RNA استخراج شده روی ژل آگارز دو درصد الکتروفورز شد. برای ساخت cDNA از کیت کیژن فست (QuantiFast) Reverse Transcriptase شرکت کیژن (205311) استفاده شد. قبل از اندازه‌گیری بیان ژن‌های مورد نظر، صحت عملکرد آغازگرهای تهیه شده با استفاده از دستگاه PCR و تکثیر قطعه مورد نظر از روی cDNA تهیه شده بر اساس پرایمرهای اختصاصی برای هر ژن (TGTC ACTATGGAGCTCTCACATGTGG) و (CACCTCTCAAATATGCTAGACGAATCTGT) به عنوان پرایمر معکوس AR و (TGCCTTTCCCATGGACTGGG) به عنوان پرایمر مستقیم و (GAGTTCCAAAGGCCAAACCG) به عنوان پرایمر معکوس، بررسی شد. واکنش‌های Real Time QPCR با استفاده از آغازگرهای اختصاصی و کیت کو آنتی فست سایبرگرین PCR شرکت کیژن (204052) در دستگاه PCR از شرکت Corbett انجام شد (12-14).

روش اندازه‌گیری کمیت بیان ژن‌ها و تجزیه و تحلیل آماری نتایج

در مطالعه حاضر بیان ژن‌های مورد نظر از روش لیواک ($2-\Delta\Delta CT$) اندازه‌گیری شده و تجزیه و تحلیل واریانس برای بررسی وجود یا عدم وجود اختلاف معنی‌دار آماری بین تیمارهای مختلف از نظر بیان ژن‌های مورد نظر از نرم‌افزار آماری SAS ویرایش 9/1

استفاده شد (19). اطلاعات به دست آمده توسط نرم افزار آماری SPSS (نسخه 20) به کمک آزمون واریانس یک طرفه (ANOVA) تجزیه و تحلیل شدند. در صورت وجود اختلاف معنی‌دار میان گروه‌ها و به منظور تفکیک گروه‌هایی که با یکدیگر اختلاف معنی‌دار داشتند، از آزمون تعقیبی Tukey در سطح معنی‌داری $P < 0/05$ استفاده شد.

بررسی متیلاسیون ژن PMEPA1 در سلول‌های رده سرطانی پروستات

طراحی پرایمر با نرم‌افزار Blast انجام شد. ژن PMEPA1 از ژن‌های آندروژن رسپتور AR انتخاب شده و از طریق سایت NCBI به بررسی ژن و طراحی آن اقدام شد. یک میکروگرم DNA توسط بی‌سولفیت سدیم با استفاده از بسته EZ DNA Methylation-Gold™ در کیت بی‌سولفیت (EpiTect Bisulfite Kits) و پیروی از پروتکل عرضه کننده، با استفاده از بافر 50 میلی‌لیتر، بی‌سولفیت شد. غلظت پرایمر برای مخلوط با الیگونوکلوئوتید بی‌سولفیت شده 700 نانوگرم تعیین شد. 50 میکرولیتر از نمونه‌های بی‌سولفیت شده از هر رده سلولی PC3 و DU145 با اثر ماده استاندارد DPT و نمونه کنترل با اثر سیس‌پلاتین بر روی هر یک از رده‌ها را برای سکانس به کشور کره فرستاده شد. نتایج سکانس با نرم‌افزار ChromasPro نسخه ۲،۴،۱ آنالیز شد (12-14).

تعیین آنتی‌اکسیدانی با روش DPPH

اثر آنتی‌اکسیدانی گیاه با ترکیب DPPH مورد ارزیابی قرار گرفت. در این روش غلظت‌های مختلف عصاره گیاه با حجم برابر با محلول 100 میکرومولار DPPH مخلوط و بعد از انکوباسیون برای مدت 15 دقیقه در دمای اتاق با دستگاه UV در طول موج 517 نانومتر آنالیز شد. همچنین اثر آنتی‌اکسیدانی آن با ترکیب آنتی‌اکسیدانی استاندارد BHA مقایسه شد (۱۲،۱۴).

اطلاعات به دست آمده توسط نرم افزار آماری SPSS (ورژن 20) به کمک آزمون واریانس یک طرفه (ANOVA) تجزیه و تحلیل شدند. در صورت وجود اختلاف معنی دار میان گروه‌ها و به منظور تفکیک گروه‌هایی که با یکدیگر اختلاف معنی دار داشتند، از آزمون تعقیبی Tukey در سطح معنی داری $P < 0/05$ استفاده شد (12-14).

یافته‌ها

اثر عصاره‌های گیاهی و ماده استاندارد بر میزان تکثیر رده سلولی با روش *MTT assay*

در ارزیابی مورفولوژیک دو رده سلولی PC3 و DU145 مشخص گردید که 48 ساعت پس از اضافه نمودن عصاره متانلی *Juniperus communis* و دئوکسی پودوفیلوتوکسین با غلظت $10 \mu\text{g/ml}$ در مقایسه با سلول‌های گروه شاهد، تغییر محسوسی در آن‌ها مشاهده نشد. اما، در غلظت $10 \mu\text{g/ml}$ ، 100 ، 500 ، $1000 \mu\text{g/ml}$ سلول‌ها از بستر خود جدا شده و از حالت دوکی شکل به صورت گرد در آمده و گرانولاسیون سلولی در آن‌ها مشاهده گردید. شدت میزان کشندگی عصاره متانلی *Juniperus communis* و دئوکسی پودوفیلوتوکسین وابسته به غلظت بوده و با افزایش آن اثر کشندگی بیش تر می شود و با افزایش غلظت، تعداد سلول‌های تخریب شده بیشتری در فلاسک‌های کشت دیده شد ($100 > 500 > 1000$). 48 ساعت پس از اضافه کردن عصاره متانلی *Juniperus communis* و دئوکسی پودوفیلوتوکسین خالص با غلظت $50 \mu\text{g/ml}$ در مقایسه با سلول‌های فلاسک گروه شاهد، تغییر محسوسی در آن‌ها مشاهده نشد، اما در غلظت‌های $10 \mu\text{g/ml}$ ، 100 ، 500 ، $1000 \mu\text{g/ml}$ تغییرات مورفولوژیک قابل توجه بود و این تغییرات با افزایش زمان شدیدتر گردید. در هر یک از غلظت‌های $10 \mu\text{g/ml}$ ، 100 ، 500 ، $1000 \mu\text{g/ml}$ اثر داده شده به سلول‌ها، با افزایش زمان اثرات سایتوتوکسیک در سلول‌ها (سرطانی و طبیعی) بیش تر شد و تعداد سلول‌های کشته شده افزایش یافت ($48 > 72 > 96$). در

ارزیابی مورفولوژیک سلول‌های PC3 و DU145 تیمار شده با دئوکسی پودوفیلوتوکسین خالص نیز پس از گذشت 24 ساعت از اضافه کردن دئوکسی پودوفیلوتوکسین خالص در غلظت‌های $500 \mu\text{g/ml}$ ، 1000 ، کاهش تقسیم و گرانولاسیون سلولی مشاهده شد. اما، در غلظت‌های $10 \mu\text{g/ml}$ ، $100 \mu\text{g/ml}$ سلول‌ها به بستر فلاسک چسبیده، شکل طبیعی خود را حفظ کرده و گرانولاسیون سلولی در آن‌ها مشاهده نشد. پس از گذشت 48، 72 و 96 ساعت، اثرات ترکیب در غلظت‌های $500 \mu\text{g/ml}$ ، 1000 تشدید گردید. جذب نوری به دست آمده از خانه‌ای حاوی سلول‌های تیمار شده با عصاره متانلی *Juniperus communis* و دئوکسی پودوفیلوتوکسین خالص با جذب نوری خانه‌های حاوی گروه شاهد مقایسه شد و درصد سلول‌های زنده مانده با فرمول زیر محاسبه گردید.

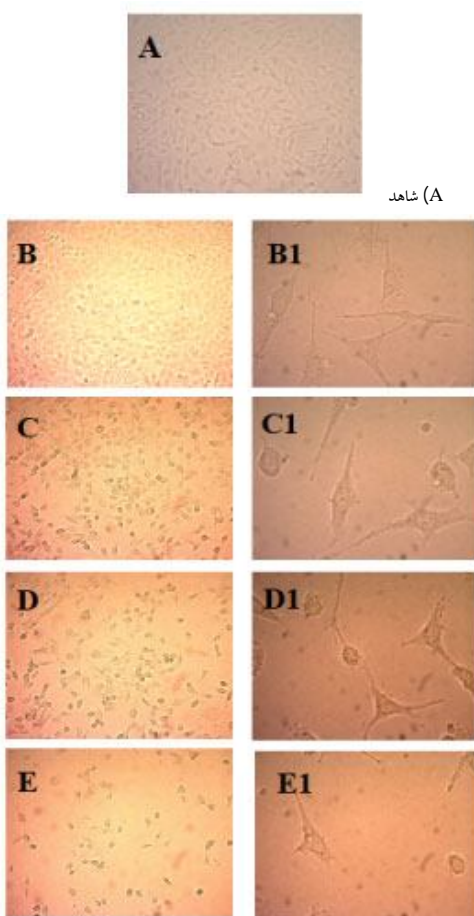
نتایج نشان داد با عصاره متانلی *Juniperus communis* و دئوکسی پودوفیلوتوکسین خالص با غلظت‌های $500 \mu\text{g/ml}$ ، 1000 در مقایسه با گروه شاهد، موجب کاهش معنی داری در میزان درصد زنده ماندن سلول‌های سرطانی رده PC3 و DU145 شد (جدول شماره 1 و 2). در غلظت $10 \mu\text{g/ml}$ با عصاره متانلی *Juniperus communis* و دئوکسی پودوفیلوتوکسین خالص، کاهش درصد زنده ماندن سلول‌های سرطانی PC3 و DU145 در مقایسه با گروه شاهد معنی دار نبود ($P > 0/05$). در مقایسه با گروه شاهد، غلظت‌های $500 \mu\text{g/ml}$ و $1000 \mu\text{g/ml}$ عصاره متانلی *Juniperus communis* موجب کاهش معنی داری در میزان درصد زنده ماندن سلول‌های PC3 و DU145 گردید ($P < 0/05$) و در غلظت‌های $10 \mu\text{g/ml}$ ، 100 و $1000 \mu\text{g/ml}$ دئوکسی پودوفیلوتوکسین خالص کاهش درصد زنده ماندن سلول‌های PC3 و DU145 نسبت به گروه شاهد معنی دار نبود (جدول شماره 1 و 2) (تصویر شماره 2). همچنین در تصویر شماره 3 و جدول شماره 3 نتایج ایجاد آپوپتوز آورده شده است. تصویر شماره 4 نتایج حاصل از بیان ژن رسپتور آندروژنی را نشان می دهد.

جدول شماره 1: درصد زنده ماندن سلول های DU145 در 24، 48، 72 ساعت پس از تیمار با DPT و عصاره متانلی *Juniperus communis* با غلظت های 10، 50، 100 و 500 میکروگرم بر میلی لیتر

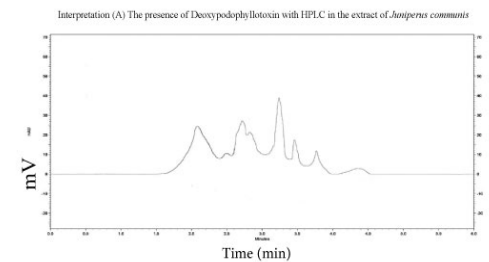
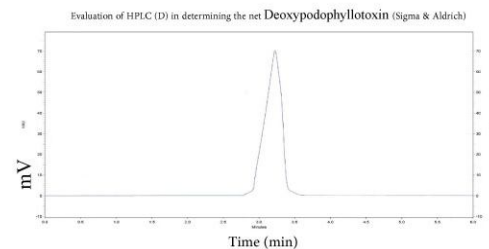
P	عصاره <i>J. communis</i>			DPT			P	DPT			گروه ها	
	72 ساعت	P	48 ساعت	24 ساعت	P	72 ساعت		48 ساعت	P	24 ساعت		
	%100		%100			%100		%100		%100	شاهد	
0/004	%62/10	-0/002	%61/50	-0/003	%61/40	0/0217	%49/90	0/0213	%54/20	0/0003	%52/10	10 غلظت
0/027	%58/70	-0/024	%55/10	-0/003	%58/10	0/006	%34/00	-0/001	%33/30	-0/005	%32/90	100 غلظت
0/008	%59/60	-0/029	%54/50	0/021	%56/60	-0/007	%12/00	-0/018	%10/90	0/024	%15/10	500 غلظت
0/015	%52/60	-0/014	%48/90	-0/004	%53/90	0/008	%12/70	0/006	%12/50	-0/015	%10/40	1000 غلظت

جدول شماره 2: درصد زنده ماندن سلول های PC3 در 24، 48، 72 ساعت پس از تیمار با DPT و عصاره متانلی *Juniperus communis* با غلظت های 10، 50، 100 و 500 میکروگرم بر میلی لیتر

P	عصاره <i>J. communis</i>			DPT			P	DPT			گروه ها	
	72 ساعت	P	48 ساعت	24 ساعت	P	72 ساعت		48 ساعت	P	24 ساعت		
	%100		%100		%100		%100		%100		%100	شاهد
0/018	%63/90	-0/006	%61/50	-0/012	%60/90	0/0217	%49/90	0/0213	%54/20	0/0003	%52/10	10 غلظت
-0/004	%54/10	-0/043	%55/50	0/042	%48/80	0/006	%34/00	-0/001	%33/30	-0/005	%32/90	100 غلظت
0/049	%52/00	0/051	%47/70	0/001	%56/20	-0/007	%12/00	-0/018	%10/90	0/024	%15/10	500 غلظت
-0/008	%56/70	0/022	%46/70	-0/013	%51/90	0/008	%12/70	0/006	%12/50	-0/015	%10/40	1000 غلظت



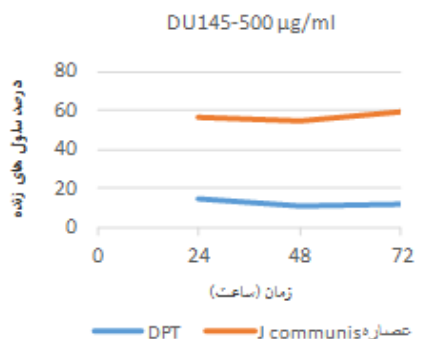
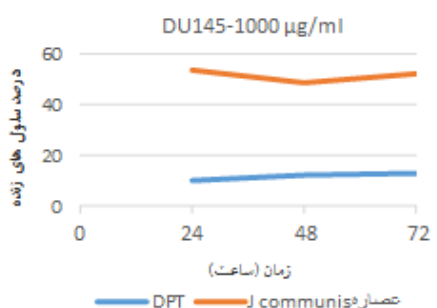
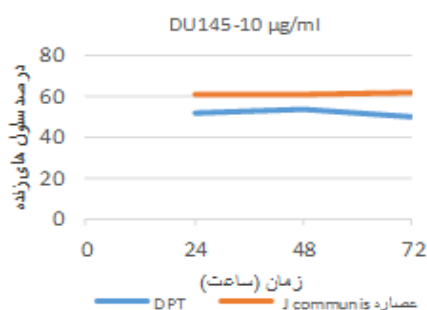
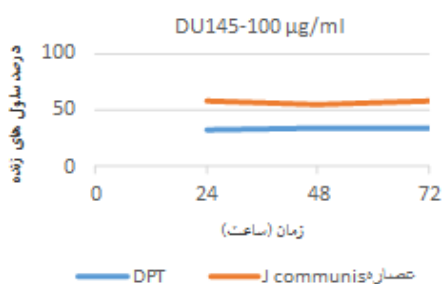
تصویر شماره 3: رده سلولی PC3، (B) غلظت 10 µg/ml، (C) غلظت 500 µg/ml، (D) غلظت 100 µg/ml، (E) غلظت 500 µg/ml.



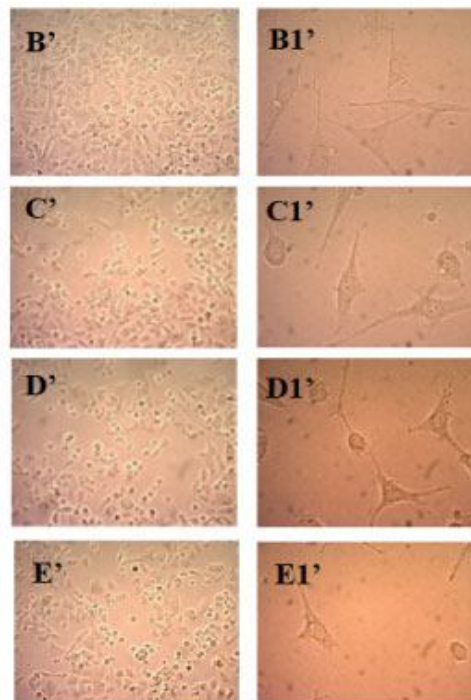
تصویر شماره 2: حضور ماده دئوکسی پودوفیلوتوکسین خالص با HPLC در عصاره میوه لمبیر (*Juniperus communis*)

جدول شماره 3: نتایج حاصل از بررسی اثر عصاره گیاه (A) و ترکیب DPT (B) بر روی روند آپوپتوز در سه رده سلولی PC3، DU1454 و سلول نرمال فیبروبلاست (HGFs).

مقایسه برگ و ریشه وزی شده (آپوپتوز) با مرگ سلولی (نکروز)	درصد فراوانی سلول های زنده			درصد فراوانی سلول های پس از		
	HGFs	DU145	PC3	HGFs	DU145	PC3
آپوپتوز ابتدایی	1/49	8/17	23/96	1/79	8/30	33/6
آپوپتوز انتهایی	44/41	4/01	6/92	1/50	44/74	83/83
نکروز ابتدایی	49/20	1/73	1/06	7/92	0/89	0/39
میزان بقای سلول زنده	4/90	86/09	68/06	88/79	46/07	12/42



تصویر شماره 5: نتایج مقایسه ای اثر عصاره گیاه و ترکیب DPT (در دوزهای ۱۰، ۱۰۰، ۵۰۰، ۱۰۰۰ و ۱۰۰۰ میکروگرم بر میلی لیتر از A تا E) در زمان های 24، 48 و 72 ساعت بر روی رده سلولی DU145



تصویر شماره 4: رده سلولی DU145 (B' غلظت 10 µg/ml، C' غلظت 100 µg/ml، D' غلظت 500 µg/ml، E' غلظت 1000 µg/ml).

بررسی اثر تیمار *J. communis* و DPT با غلظت ۱۰، ۱۰۰، ۵۰۰، ۱۰۰۰ میکروگرم بر میلی لیتر (به ترتیب از بالا به پایین) پس از 72 ساعت بر رده سلول های سرطانی PC3 (تصویر شماره 3) و DU145 (تصویر شماره 4) می باشد.

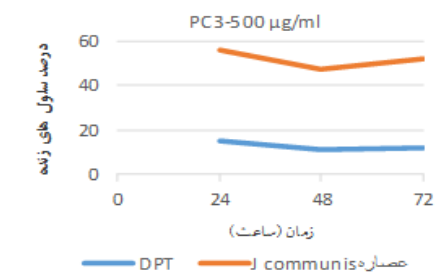
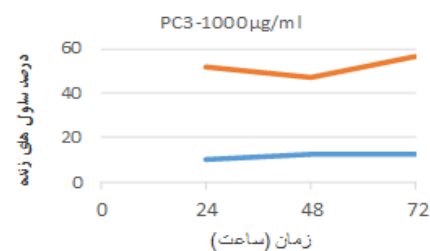
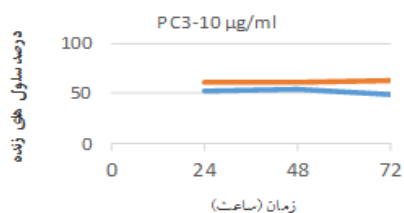
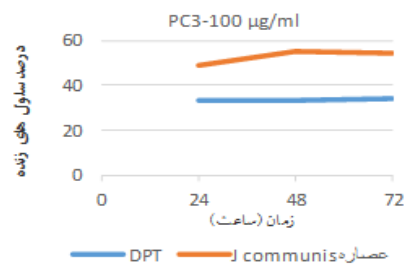
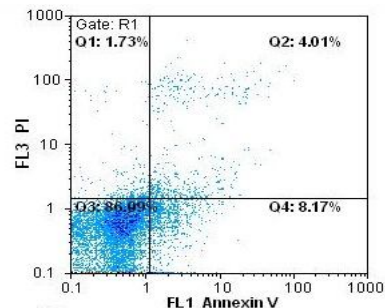
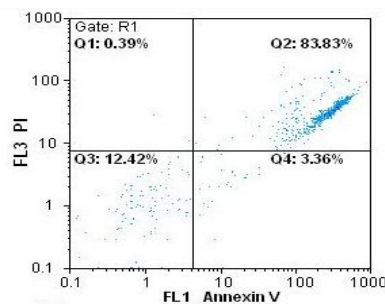
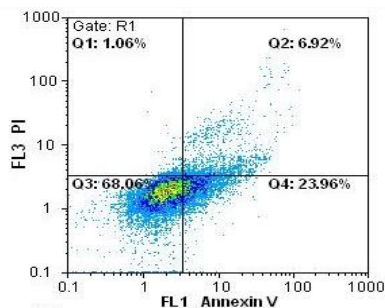
با غلظت سلول های سرطانی PC3 و DU145، 72 ساعت پس از تیمار با عصاره متانلی *Juniperus communis* و دئوکسی پودوفیلوتوکسین خالص (20×) (بدون شماره مربوط به دئوکسی پودوفیلوتوکسین و شماره 1 مربوط به عصاره). (A شاهد و B، B1 غلظت 10 µg/ml پس از 72 ساعت، C، C1 غلظت 100 µg/ml پس از 72 ساعت، D، D1 غلظت 500 µg/ml پس از 72 ساعت، E، E1 غلظت 1000 µg/ml پس از 72 ساعت برای رده سلولی PC3 و B1'، B' غلظت 10 µg/ml پس از 72 ساعت، C1'، C' غلظت 100 µg/ml پس از 72 ساعت، D1'، D' غلظت 500 µg/ml پس از 72 ساعت، E1'، E' غلظت 1000 µg/ml پس از 72 ساعت (تصویر شماره 5 و 6).

(Annexin-V FITC and propidium iodide) و دستگاه فلوسایتومتر مورد ارزیابی قرار گرفت (تصویر شماره 7). جدول شماره 4 نشان می دهد که میانگین بیان نسبی ژن AR و CLU با اثر ماده مؤثر استاندارد بر رده سلولی PC3 و DU145 و HGFs نسبت به گروه کنترل Cisplatin انتظار مناسب برخوردار است (تصویر شماره 8 و 9). همچنین نتایج متیلاسیون ژن مربوطه در تصویر شماره 10 آورده شده است.

جدول شماره 4: میزان بیان نسبی ژن AR با اثر ماده مؤثر استاندارد بر رده سلولی پروستات

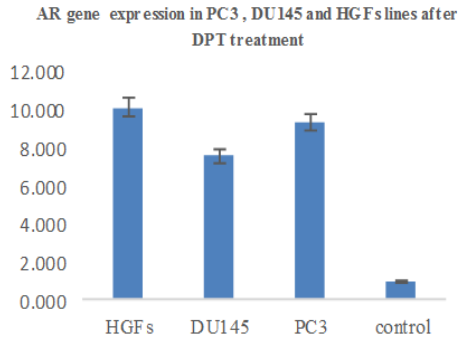
رد سلولی	بیان ژن CLU تحت تاثیر DPT	بیان ژن AR تحت تاثیر DPT
PC3	17.09 ^a	6.54 ^a
DU145	3.49 ^b	7.59 ^a
HGFs	1.006 ^a	1.055 ^a
control	3.43 ^b	0.97 ^b
P-value	0.0119	0/05
SEM	1/7	0/71

* میانگین های دارای حروف مشترک در هر ستون فاقد تفاوت معنی دار آماری هستند.

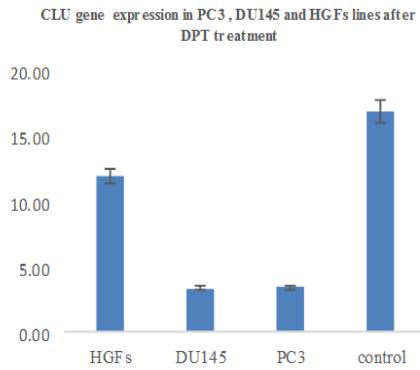


تصویر شماره 6: نتایج مقایسه ای اثر عصاره گیاه و ترکیب DPT (در دوزهای 10، 100، 500 و 1000 میکروگرم بر میلی لیتر از A تا E) در زمان های 24، 48 و 72 ساعت بر روی رده سلولی PC3

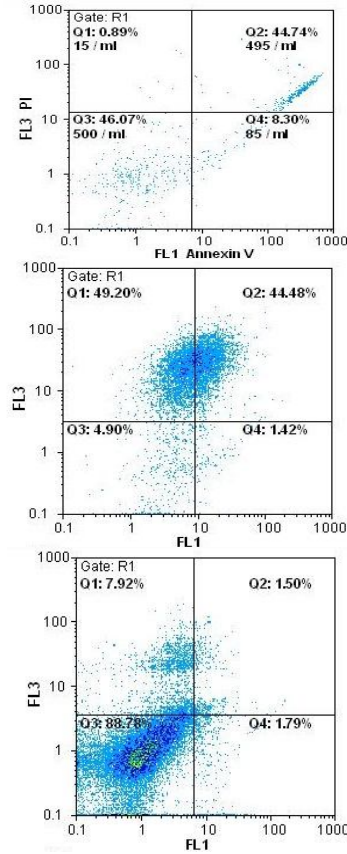
ارزیابی القاء آپوپتوزیس DPT و عصاره لمبیر با فلوسایتومتری آپوپتوزیس و نکروزیس و بقای سلول زنده برای رده سلولی DU145، PC3 و فیروبلاست نرمال با اثر عصاره میوه لمبیر به غلظت 100 µg/ml و ماده خالص DPT به غلظت 100 µg/ml که به مدت 24 ساعت تیمار داده شدند، با استفاده از کیت آپوپتوزیس



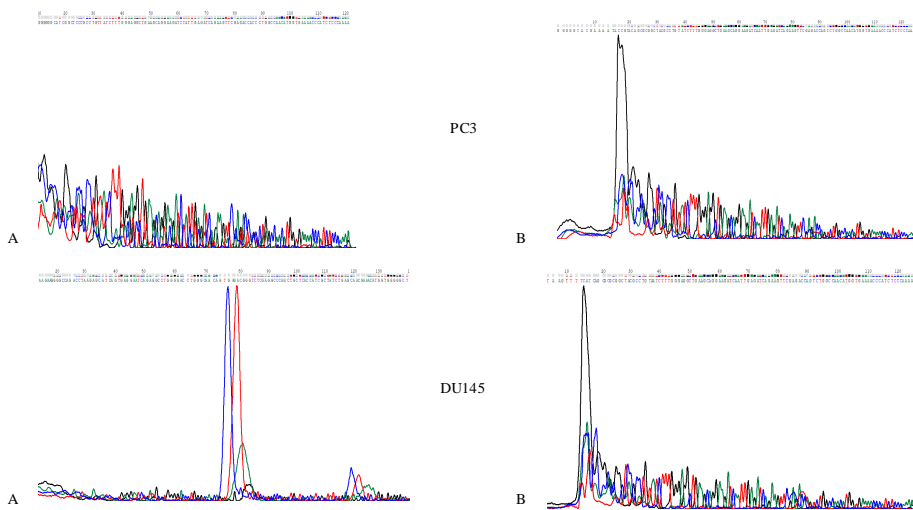
تصویر شماره 8: بیان ژن آندروژن رسپتور (AR) در رده های سلولی PC3، DU145 و HGFs بعد از تاثیر DPT



تصویر شماره 9: بیان ژن کلاسترتین (CLU) در رده های سلولی PC3، DU145 و HGFs بعد از تاثیر DPT



تصویر شماره 7: نتایج حاصل از بررسی اثر عصاره گیاه (A) و ترکیب DPT (B) بر روی روند آپوپتوز در سه رده سلولی PC3، DU1454 و سلول نرمال فیبروبلاست (HGFs).



تصویر شماره 10: کروماتوگرام A اثر سیس پلاتین و B دئوکسی پودوفیلوتوکسین بر متیلاسیون ژن PMEPA1 در رده سلولی PC3 و DU145

میزان فعالیت آنتی اکسیدانی عصاره میوه لمبیر و دئوکسی پودوفیلوتوکسین

با توجه به نتایج به دست آمده، میزان IC_{50} عصاره گیاه، DPT و BHA یا هیدروکسی آنیزول بوتیل به ترتیب 57/48، 32/46 و 58/72 میکروگرم بر میلی لیتر محاسبه شد.

بحث

هدف اصلی این پژوهش بررسی اثرات سیتوتوکسیک عصاره متانلی *Juniperus communis* بر رده سلول های سرطانی PC3 و DU145 در مقایسه با اثرات سیتوتوکسیک دئوکسی پودوفیلوتوکسین خالص بر رده سلول های سرطانی PC3 و DU145 بود.

بر اساس مشاهدات مورفولوژیک، 24 ساعت پس از تیمار سلول های سرطانی با ترکیب متانلی دئوکسی پودوفیلوتوکسین با غلظت 100 $\mu\text{g/ml}$ تغییرات مورفولوژیک محسوس در مقایسه با نمونه های گروه شاهد مشاهده نشد و سلول های سرطانی از نظر شکل و اندازه تقریباً مشابه با سلول های گروه شاهد بودند. 48 و 72 ساعت بعد از اینکه سلول های سرطانی تحت اثر ترکیب با غلظت 100 $\mu\text{g/ml}$ قرار گرفتند، تغییرات مورفولوژیک ایجاد شده در آن ها در مقایسه با گروه شاهد بسیار نامحسوس بود. بر اساس نتایج آزمون MTT، کاهش درصد زنده ماندن رده سلول های سرطانی PC3 و DU145 در 24 ساعت پس از تیمار سلول ها با غلظت 100 $\mu\text{g/ml}$ از عصاره، در مقایسه با درصد زنده ماندن نمونه های گروه شاهد دارای اختلاف معنی داری نبود ($P > 0/05$). با افزایش زمان، میزان درصد زنده ماندن سلول های سرطانی کاهش یافت، ولی این کاهش معنی دار نبود ($P > 0/05$). بنابراین، افزایش زمان نسبت به 24 ساعت، کاهش معنی داری در میزان درصد زنده ماندن سلول هایی که تحت اثر عصاره با غلظت 10 $\mu\text{g/ml}$ قرار داشتند، ایجاد نکرد. طبق مشاهدات مورفولوژیک، 24 ساعت پس از تیمار

سلول های سرطانی PC3 و DU145 با عصاره متانلی *Juniperus communis* با غلظت 100 $\mu\text{g/ml}$ ، تغییرات مورفولوژیک قابل ملاحظه ای در مقایسه با نمونه های گروه شاهد در سلول ها مشاهده شد و این تغییرات در 48 و 72 ساعت بعد از تیمار سلول ها با عصاره متانلی *Juniperus communis* با غلظت 100 $\mu\text{g/ml}$ تشدید گردید. بر اساس نتایج آزمون MTT، درصد زنده ماندن سلول های سرطانی PC3 و DU145 در 24 ساعت پس از تیمار با عصاره متانلی *Juniperus communis* با غلظت 10 $\mu\text{g/ml}$ نسبت به گروه شاهد به طور معنی داری کاهش یافت ($P < 0/05$). هم چنین، این کاهش با افزایش زمان نسبت به 24 ساعت، به طور معنی داری تشدید شد. بنابراین، می توان گفت علاوه بر اینکه غلظت عصاره متانلی *Juniperus communis* بر مورفولوژی و درصد زنده ماندن سلول های سرطانی موثر است، مدت زمانی که سلول ها تحت اثر ترکیب قرار می گیرند، می تواند اثرگذار باشد. در مقایسه با نمونه های گروه شاهد، تغییرات مورفولوژیک قابل توجهی در 24 ساعت پس از تیمار سلول ها عصاره متانلی *Juniperus communis* با غلظت 100 $\mu\text{g/ml}$ ، مشاهده نشد و آزمون MTT این نتایج را تایید نمود. کاهش درصد زنده ماندن سلول ها با دئوکسی پودوفیلوتوکسین خالص در 24 ساعت پس از تیمار سلول ها با غلظت 500 $\mu\text{g/ml}$ در مقایسه با گروه شاهد معنی دار نبود ($P > 0/05$). هم چنین، افزایش زمان نسبت به 24 ساعت نتوانست اثرات قابل توجهی بر مورفولوژی و درصد زنده ماندن سلول های تیمار شده با دئوکسی پودوفیلوتوکسین خالص در غلظت 100 $\mu\text{g/ml}$ بگذارد. بنابراین، می توان گفت عصاره متانلی *Juniperus communis* در این غلظت می تواند درصد زنده ماندن سلول های سرطانی را در مقایسه با گروه شاهد بطور معنی داری کاهش دهد، ولی این کاهش در سلول های تیمار شده با دئوکسی پودوفیلوتوکسین خالص مشاهده نشد. با توجه به روش تحقیق این پژوهش، نمی توان از نظر مولکولی تفاوت های بین

دئوکسی پودوفیلوتوکسین خالص بر سلول‌های سالم انسانی اثرات مهاری و سیتوتوکسیک داشته باشند، در هنگام استفاده از غلظت‌های متفاوت این گیاه دارویی، به آن توجه شود. Abdullaev و همکاران در طی مطالعه‌ای دریافتند که دئوکسی پودوفیلوتوکسین خالص فعالیت‌های سه فرآیند مهم متابولیکی یعنی ساخت RNA، DNA و پروتئین را در سلول‌های سرطانی انسانی متوقف و مهار می‌کند (16). هم‌چنین، Abdullaev و همکاران در سال 2003 در طی مطالعه‌ای مشابه دریافتند، اثر بازدارندگی دئوکسی پودوفیلوتوکسین خالص روی سنتز نوکلئیک اسید می‌تواند یک اساس بیوشیمیایی برای اثر بازدارندگی آن روی تکثیر سلول‌های توموری باشد. این نکته توسط آزمایش اثرات دئوکسی پودوفیلوتوکسین خالص روی ساخت RNA و DNA در یک سیستم بدون سلول که هسته‌ها ایزوله شده بودند، بررسی شد (16). بر اساس مطالعات Dufresne و همکارانش مشاهده شد دئوکسی پودوفیلوتوکسین خالص، اثر مستقیم روی واکنش‌های سنتزی ندارد و مکانیسم‌های ضد سرطانی دئوکسی پودوفیلوتوکسین خالص را به‌طور خلاصه این‌گونه بیان نمودند: (1) اثر مهار کنندگی بر سنتز RNA و DNA دارد، اما بر سنتز پروتئین اثر مهاری ندارد؛ (2) اثر مهار کنندگی دئوکسی پودوفیلوتوکسین خالص، روی فعل و انفعالات زنجیره‌ی رادیکال‌های آزاد و به‌خصوص آنتی‌اکسیدانی آن نیز ارتباط پیدا می‌کند؛ (3) اثر ضد سرطانی دئوکسی پودوفیلوتوکسین خالص، به‌صورت طبیعی کارتنوئیدها را به رتنوئید تبدیل می‌کند (17). Pozo-Rodríguez و همکارانش دریافتند، تیمار سلول‌های توموری با دئوکسی پودوفیلوتوکسین خالص، کاهشی را در سطح ترکیبات سولفیدریلی داخل سلولی ایجاد می‌کند که این کاهش می‌تواند یکی از توضیحات، برای اثرات سیتوتوکسیستی دئوکسی پودوفیلوتوکسین خالص باشد (18). Lee و همکارانش در سال 2010 دریافتند که ترکیب دئوکسی پودوفیلوتوکسین می‌تواند در مهار فاکتور رشد آندوتلیوم عروقی موثر

سلول‌های سرطانی تیمار شده با عصاره متانلی *Juniperus communis* و دئوکسی پودوفیلوتوکسین خالص که منجر به پاسخ متفاوت این دو رده سلولی نسبت به عصاره متانلی *Juniperus communis* در غلظت 100 µg/ml شده است، را بررسی و ردیابی نمود. اما، می‌توان گفت سلول‌ها از نظر مسیرهای بیان ژنی، گیرنده‌های موجود در خارج و داخل غشا و هم‌چنین مسیرهای سیگنال‌دهی سلولی متفاوت‌اند، که این امر ممکن است منجر به پاسخ متفاوت سلول‌های تیمار شده با دئوکسی پودوفیلوتوکسین خالص نسبت به سلول‌های تیمار با عصاره متانلی *Juniperus communis* در غلظت 500 µg/ml شده باشد. این تفاوت در مسیرهای سیگنال‌دهی در سلول‌ها، ممکن است منجر به فعال شدن آپوپتوز و عوامل مهار کننده نسخه‌برداری از DNA و یا منجر به مهار نمودن یک ژن خاص که نقش تنظیمی در چرخه تقسیم سلولی دارد، در سلول‌های سرطانی تیمار با عصاره متانلی *Juniperus communis* شود. تغییرات مورفولوژیک در غلظت‌های 500 µg/ml و 1000 µg/ml افزایش غلظت نسبت به گروه شاهد افزایش یافت و افزایش زمان نسبت به 24 ساعت پس از تیمار با ترکیب، توانست منجر به تشدید اثرات سیتوتوکسیک در سلول‌ها شود. بر اساس نتایج آزمون MTT، درصد زنده ماندن سلول‌ها در غلظت‌های 500 µg/ml و 1000 µg/ml در مقایسه با گروه شاهد به‌طور معنی‌داری کاهش یافت ($P < 0/05$). هم‌چنین، درصد زنده ماندن سلول‌ها در غلظت‌های 500 µg/ml و 1000 µg/ml وابسته به غلظت و زمان می‌باشد؛ یعنی با افزایش این فاکتورها، میزان مرگ و میر سلول‌ها به‌طور معنی‌داری افزایش می‌یابد. تاکنون گزارشی از اثرات سیتوتوکسیک عصاره متانلی *Juniperus communis* بر سلول‌های سرطانی رده PC3 و DU145 در دست نیست. بنابراین، وجود اثرات سیتوتوکسیک عصاره متانلی *Juniperus communis* بر سلول‌های طبیعی نیز می‌بایست مدنظر قرار گیرد و تحقیقات بیشتری در این زمینه انجام شود تا چنانچه

Juniperus communis در غلظت 100µg/ml بدون این که منجر به آسیب معنی داری در سلول‌ها شود، دئوکسی پودوفیلو توکسین خالص قادر به کشتن سلول‌های سرطانی است. امید است این مطالعه زمینه‌ای را برای دست‌یابی به ترکیباتی از عصاره متانلی *Juniperus communis* که بتوانند به‌طور اختصاصی سلول‌های سرطانی را مورد هدف قرار دهند، فراهم آورد.

در این مطالعه مشخص گردید که عصاره متانلی *Juniperus communis* در غلظت‌های 100µg/ml، 1000 اثر سایتو توکسیک بر سلول‌های PC3 و DU145 داشته و منجر به تغییرات مورفولوژی (افزایش اندازه واکوئل‌ها، کاهش سیتوپلاسم و پیگمانه شدن هسته) در سلول‌های سرطانی می‌شود؛ در صورتی که اثر سایتو توکسیک در سلول‌های تیمار شده با دئوکسی پودوفیلو توکسین خالص فقط در غلظت‌های 500 µg/ml و 1000 مشاهده شد و در غلظت‌های 10 µg/ml و 100 این تغییرات مشاهده نشد. بنابراین، می‌توان از غلظت 100µg/ml عصاره متانلی *Juniperus communis* بدون آسیب رساندن به سلول‌ها، جهت کشتن سلول‌های سرطانی PC3 و DU145 استفاده کرد. ماده مؤثر به کار گرفته شده در درمان سرطان پروستات مستقل از تجویز آندروژن با افزایش بیان آندروژن منجر به کاهش پیشرفت تقسیم میتوز و افزایش آپوپتوز می‌گردد. به‌طوریکه در Real time میزان بیان AR نسبت به کنترل افزایش را نشان می‌دهد.

سپاسگزاری

این مقاله بخشی از پایان نامه آقای مرتضی مهدوی با کد اخلاق IR.MAZUMS.REC.95.2101 می‌باشد. از تمامی افراد که در این طرح کمک و همکاری کردند تشکر و قدر دانی می‌کنم.

باشد. مهار این فاکتور رشد، موجب مهار تکثیر، مهاجرت، تهاجم، تشکیل عروق و تولید بافت همبند در اطراف سلول‌های سرطانی می‌شود. هم‌چنین تجویز خوراکی دئوکسی پودوفیلو توکسین خالص موجب مهار رشد سرطان پرستات گردید. در این مطالعه گزارش شد که تجویز دئوکسی پودوفیلو توکسین خالص، موجب تحریک در فعالیت گلوکوتایون ترانسفراز، سوپراکسید دیسموتاز و کاتالاز شده است (7).

Shahverdi و همکارانش در سال 2006 دریافتند آنزیم متالوپروتیناز تولیدی توسط سلول‌های سرطانی نقش مهمی در تحریک تهاجم سلول‌های سرطانی و ایجاد التهاب دارد و تجویز دئوکسی پودوفیلو توکسین خالص موجب مهار فعالیت این آنزیم و در نتیجه مهار تهاجم سلول‌های سرطانی می‌شود (20). Abul-Nasr و همکارانش برای توجیه اثرات سایتو توکسیک دئوکسی پودوفیلو توکسین خالص و ترکیبات موجود در آن مکانیسم‌های مختلفی پیشنهاد کردند که بخشی از آن نیز القا آپوپتوزیس در سلول‌های سرطانی از طریق مسیرهای وابسته به P53 و مسیر غیروابسته به P53 می‌باشند (21). به‌طور کلی می‌توان گفت ترکیب متانلی دئوکسی پودوفیلو توکسین حاوی ترکیباتی است که می‌تواند روتد تکثیر و تقسیم سلولی را کاهش دهد و با فعال کردن روند آپوپتوز در سلول‌ها و هم‌چنین با آسیب رساندن به DNA و اختلال در روندهای سیگنال‌دهی سلولی منجر به تخریب و مرگ سلولی می‌شود. تمامی مطالب ذکر شده ممکن است هم در سلول‌های سرطانی و هم در سلول‌های طبیعی رخ بدهد. البته لازم به ذکر است تمامی اثراتی که عصاره متانلی *Juniperus communis* می‌تواند روی سلول‌ها (سرطانی و طبیعی) داشته باشد، رابطه مستقیم با غلظت مصرفی دارد. مطابق با نتایج به‌دست آمده در این پژوهش عصاره متانلی

References

1. Calvisi DF, Ladu S, Gorden A, Farina M, Conner EA, Lee JS, et al. Ubiquitous Activation

of Ras and Jak/Stat Pathways in Human HCC. *Gastroenterology* 2006; 130(4): 1117-1128.

2. Clayson DB, Mehta R, Iversin F. International Commission for Protection Against Environmental Mutagens and Carcinogens. Oxidative DNA damage--the effects of certain genotoxic and operationally non-genotoxic carcinogens. *Mutat Res.* 1994; 317(6): 25-42.
3. Troll W, Lim JS, Frenkel K. Prevention of cancer by agents that suppress production of oxidants. In: Ho CT, Osawa T, Huang MT, Rosen RT, Editors. *Food phytochemicals for cancer prevention II, teas, spices, and herbs.* Am Chem Soc 2000; 117(88): 116-121.
4. Rao PS, Kalva S, Yerramilli A, Mamidi S. Free Radicals and Tissue Damage: Role of Antioxidants. *Free Radicals and Antioxidants* 2011; 1(4): 2-7.
5. Behpour M, Ghoreishi S, Khayatkashani M, Soltani N. The effect of two oleo-gum resin exudate from *Ferula assa-foetida* and *Dorema ammoniacum* on mild steel corrosion in acidic media. *Corrosion Sci* 2011; 53(8): 2489-2501.
6. Khajeh M, Yamini Y, Bahramifar N, Sefidkon F, Pirmoradei MR. Comparison of essential oils compositions of *Ferula assa-foetida* obtained by supercritical carbon dioxide extraction and hydrodistillation methods. *Food Chem* 2005; 91(1): 639-644.
7. Lee JH, Choi S, Lee Y, Lee HJ, Kim KH, Ahn KS, et al. Herbal compound farnesiferol C exerts antiangiogenic and antitumor activity and targets multiple aspects of VEGFR1 (Flt1) or VEGFR2 (Flk1) signaling cascades. *Mol Cancer Ther* 2010; 9(2): 389-399.
8. Dehpour A, Ebrahimzadeh N, Fazeland S, Mohammad NS. Antioxidant activity of the methanol extract of *Ferula assafoetida* and its essential oil composition. *Grasas Y Aceites* 2009; 60(4): 405-412.
9. Heinlein CA, Chang C. Androgen receptor (AR) coregulators: an overview. *Endocr Rev* 2002; 23(2): 175-200.
10. Wang R, Macmillan L, Fremereau Jr R, Magnuson M, Lindner J, Limbird L. Expression of α 2-adrenergic receptor subtypes in the mouse brain: evaluation of spatial and temporal information imparted by 3 kb of 5' regulatory sequence for the α 2A AR-receptor gene in transgenic animals. *Neuroscience* 1996; 74(1): 199-218.
11. Wang K, Sun Y, Tao W, Fei X, Chang C. Androgen receptor (AR) promotes clear cell renal cell carcinoma (ccRCC) migration and invasion via altering the circHIAT1/miR-195-5p/29a-3p/29c-3p/CDC42 signals. *Cancer Lett* 2017; 394: 1-12.
12. Yang S, Sheng L, Xu K, Wang Y, Zhu H, Zhang P, et al. Anticancer effect of quinacrine on diffuse large B-cell lymphoma via inhibition of MSI2-NUMB signaling pathway. *MOL MED REP* 2018; 17(1): 522-530.
13. Das A. Anticancer effect of antimalarial artemisinin compounds. *Ann Med Health Sci Res* 2015; 5(2): 93-102.
14. Mahdavi M, Azadbakht M, Vahdati A, Farhadi A, Davoodi A. Anticancer Effects of Senecionine and *Senecio vulgaris* L. on Prostate Cancer Cell Lines. *J Mazandaran Univ Med Sci* 2019; 28(169): 1-13(Persian).
15. Shaw AT, Kim D-W, Nakagawa K, Seto T, Crinó L, Ahn M-J, et al. Crizotinib versus chemotherapy in advanced ALK-positive lung cancer. *N Engl J Med* 2013; 368(25): 2385-2394.
16. Abdullaev FI. Cancer chemopreventive and tumoricidal properties of saffron (*Crocus sativus* L.). *Exp Biol Med (Maywood)* 2002; 227(1): 20-25.

17. Dufresne A, Cassier P, Couraud L, Marec-Bérard P, Meeus P, Alberti L, et al. Desmoplastic small round cell tumor: current management and recent findings. *Sarcoma*. 2012; 2012: 714986.
18. Pozo-Rodríguez F, Martín de Nicolás JL, Sánchez-Nistal MA, Maldonado A, García de Barajas S, Calero-García R, et al. Accuracy of helical computed tomography and [18F] fluorodeoxyglucose positron emission tomography for identifying lymph node mediastinal metastases in potentially resectable non-small-cell lung cancer. *J Clin Oncol* 2005; 23(33):8348-8356.
19. Forastiere AA, Goepfert H, Maor M, Pajak TF, Weber R, Morrison W, et al. Concurrent chemotherapy and radiotherapy for organ preservation in advanced laryngeal cancer. *N Engl J Med* 2003; 349(22): 2091-2098.
20. Iranshahi M, Kalategi F, Rezaee R, Shahverdi AR, Ito C, Furukawa H, et al. Cancer chemopreventive activity of terpenoid coumarins from *Ferula* species. *Planta Med* 2008; 74(02): 147-150.
21. Abul-Nasr H, Samra M, Ayoub B, Ghoname MH. Spinal aneurysmal Bone Cyst, surgical Treatment and Imaging (A Study of 8 Cases). *Am J Sci* 2012; 8(1): 1-10.